

流れ場における底泥溶出物質の拡散実験について

神戸大学工学部 正員 松梨順三郎
 ○神戸大学工学部 学員 大前達朗

まえがき 近年、緩流河川、湖沼、閉海域での富栄養の進行が社会的に大きな問題となっている。底泥からの栄養塩の溶出は富栄養に大きな寄与をもちいれながら、その機構は明らかでない。本研究では溶出する栄養塩がゆるやかな流れの水域へどのように拡散していくかに注目し、水路実験および数値解析による、その現象を解明しようと試みた。

表-1 実験水理量

流量 cm^3/s	543.2
水深 cm	30.0
水路幅 cm	50.0
表面流速 cm/s	3.0
水路床勾配	0.0
断面平均流速 $\%$	0.36
ヒルス数	878.3
水温 $^{\circ}\text{C}$	8.5

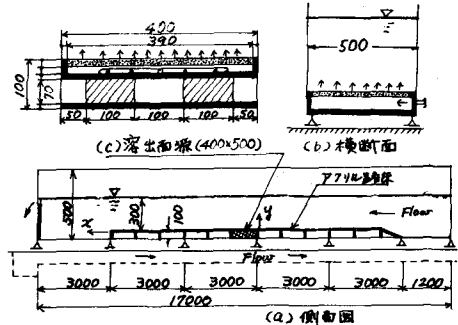


図-1 実験装置概略図 (mm)

1. 実験装置 図-1は実験装置の概要を示す。(a)は水路側面図で、長さ7m、高さ0.6m、幅0.5mの長方形断面鋼製水路を示し、アクリル板により、図のように底部0.1mのかさあげとし、(b)は水路断面図、(c)は面源部の詳細図である。面源は0.5m \times 0.4mとし、その構成は上面ポリスチレン部、金網、トレーサ(メチレンブルー)注入ボックス部、上面アクリル板のボックス部よりなる。トレーサ注入は別系統とし、高所の定水位タンクから所定流量(流量=40.0 cm^3/s 、トレーサ濃度=5PPH)を供給できるようにした。

2. 実験方法と結果 実験に用いた流れ場の諸量を表-1に示す。水路床勾配 $i=0.0$ 、下流端に堰と設け、水深

$h=30.0\text{cm}$ 、表面流速 $U_s=3.0\text{cm/s}$ とした。貯水池及び定常な流れ場とした。面源からの定流出流量 $Q_n=0.125 \times 10^{-6} (\text{g}/\text{cm}^2 \cdot \text{s})$ とし、トレーサの注入を開始すると、それは時間の経過とともに水域にひろがり、流れは時間の経過とともに流下していき、本研究ではこのように定常連続面源からの溶出物質の非定常時濃度分布、および時間経過後の定常状態でのそれを計測した。図-2は計測点(147点)と面源の位置関係を示す。濃度測定は光学濃度計(正置型)を用いた。現行事例は1巻子のみにあつたので、7巻のようないずれかを用いた。1巻での計測継続時間と40秒とし、溶出開始と時間の起算とし、図-2の三つの測点30, 36, 63間をこの順序に1分間隔でセンサーを移動し、6回繰返して計測した。図-3の(a), (b), (c)はそれぞれ測点30, 36, 63の時間平均濃度の経時計測結果を示す。図-4は $t=120$ 分の全測点における計測結果であり、濃度分布の空間特性と等濃度曲線を示した。図-3および図-4の濃度値は、 $t=40$ 秒間の時間平均値と基礎資料にしている。一方各測点において40秒間における瞬間濃度値のうち1特性を調べた。図-5の(a), (b), (c)はそれぞれ標準偏差、ひずみ度、とがり度の水深方向分布と鉛直断面 $x=80\text{cm}$ (測点30)位置に

140 cm (測点36), 200 cm (測点63)をローナ-9として示した。各測点のローナ-9数は2000個である。これによると、いづれかの鉛直断面についてと、

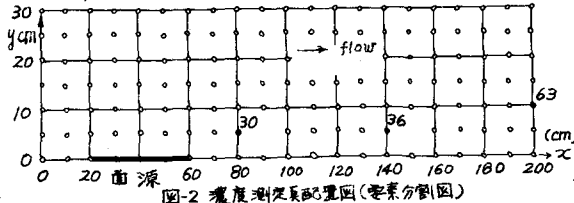


図-2 濃度測定点配置図(点集分割図)

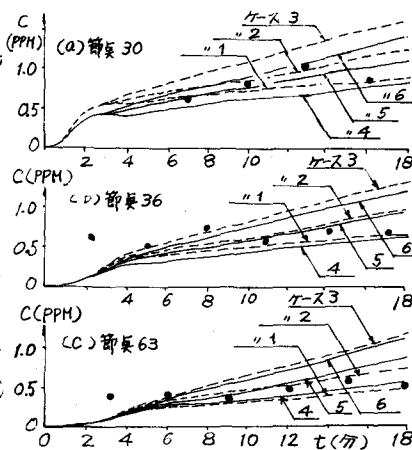


図-3 濃度の時間的変化

Junzabro MATSUNASHI, Tatsuro OMAE

水底部の各異は測定のちがいは大きく、正にひずんで
 するどくとかつた分布形をもつているとがわかる。
 なおこの傾向は $x=80\text{cm}$ では水底の近く近傍で
 顕著であるが、 $x=140, 200\text{cm}$ にはいくにつれて、この傾向
 が上部へ移行していることがわかる。

3. 数値解析 現象を二次元とし、計算領域モデル
 を図6のように設定した。初期条件は $C|_{t=0}=0$ とし、境界

条件は S_1, S_2, S_4, S_5, S_6 で拡散流
 束 $q_n = -D_n \partial C / \partial n$ とし、底部 S_2 で
 $q_n = \hat{q}_n$ とした。なお y 方向の流速
 $V=0$ とし、 x 方向流速 U は表面流
 速 $U_s = 3.0\text{cm/s}$ とし、分布形は乃
 川の流速分布形を便宜的に用
 いた。すなわち、

$$U = U_s \cdot (2y/h) \cdot (1 - y/2h) \quad (1)$$

拡散の基礎式を以下のよう設定する。

$$\partial C / \partial t + U \partial C / \partial x = \partial (D_x \partial C / \partial x) / \partial x + \partial (D_y \partial C / \partial y) / \partial y \quad (2)$$

数値計算法としてクラウケン有限要素法を用い、ラグランジ族を二次要素を用いた。図2は要素に
 なる領域分割図(要素数30, 節点数147)を示す。 $C_a = N_a(x, y) \cdot C_a(t)$, $U_a = N_u(x, y) \cdot U(t)$, $\beta = 1, 2, \dots$
 β とし、(1)を代入し、定式化し、要素ごとの積分を容易にするために、自然座標系
 ξ, η に座標変換すると次式となる。

$$\int_{\Omega} \left[\dot{C}_a \int_{\Omega} N_a N_b \det [J] d\xi d\eta + C_a \int_{\Omega} \left\{ N_u U_r N_a \frac{\partial N_b}{\partial x} + D_x \frac{\partial N_a}{\partial x} \frac{\partial N_b}{\partial x} + D_y \frac{\partial N_a}{\partial y} \frac{\partial N_b}{\partial y} \right\} \det [J] d\xi d\eta \right] + \Gamma \alpha = 0 \quad (3)$$

$$\Rightarrow \alpha = \sum_{\Omega} \left[\int_{\Omega} N_a \hat{q}_n dS \right] \quad (4)$$

とする。空間積分に Gauss Legendre の方法、時間積分に
 Crank-Nicholson 法を用いて最終的に次式となる。¹⁾

$$\sum_{\Omega} \left[C_{a,p} + F_{a,p,k+1} \Delta t / 2 \right] C_{a,k} = \left\{ C_{a,p} - F_{a,p,k} \Delta t / 2 \right\} C_{a,k} + \Gamma \alpha \Delta t \quad (5)$$

表-2は計算に適用した D_x, D_y の組合せを示す。ケース1, 2, 3
 は $D_y = 0.50\text{cm}^2/\text{s}$ であり、ケース4, 5, 6は $D_y = 1.0\text{cm}^2/\text{s}$ である。

$\Delta t = 60\text{sec}$ とし計算した。図-7には測点30, 36, 63における
 濃度の経時変化を各ケースとパラメータとして示した。ケース1が
 最も適合していることがわかる。図-7, 8はケース1と適用した場合の
 $t=5\text{分}, 15\text{分}$ における濃度分布と等濃度曲線を示した。図4
 の実験結果と比較し、 $t=20\sim 30\text{分}$ で定常になることがわかる。

参考文献 1) 松梨順一郎, 藤信明, 大前達朗
 : 流れ場における物質の鉛直拡散について,
 第2回流れの有限要素法シンポジウム, P.127-134, 1980-8, 日科技連盟。

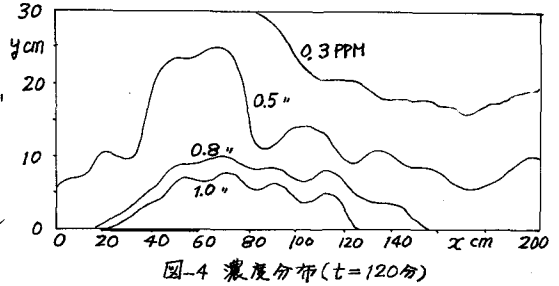


図-4 濃度分布 ($t=120\text{分}$)

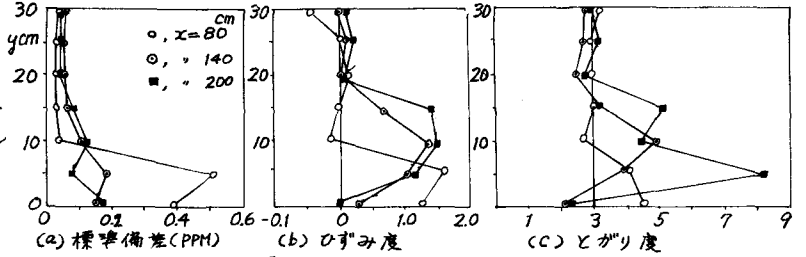


図-5 測点データのちがいはり特性

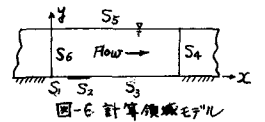


図-6 計算領域モデル

表-2 ケース表

ケース	D_x cm^2/s	D_y cm^2/s
1	2.5	0.50
2	5.0	0.50
3	7.5	0.50
4	5.0	1.00
5	7.5	1.00
6	10.0	1.00

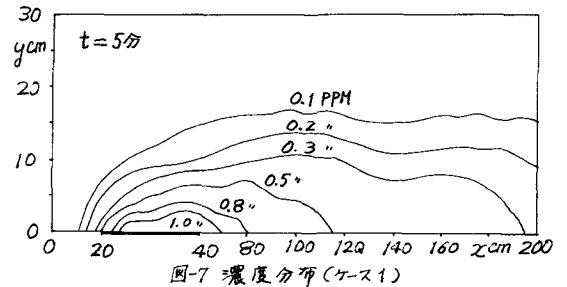


図-7 濃度分布 (ケース1)

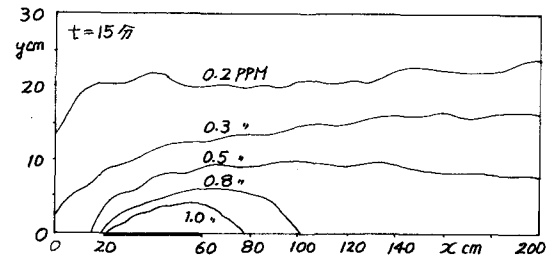


図-8 濃度分布 (ケース1)